Bumilleria sicula Borzi.

Objekttyp: **Chapter**

Zeitschrift: **Beiträge zur Kryptogamenflora der Schweiz = Matériaux pour la flore cryptogamique suisse = Contributi per lo studio della flora crittogama svizzera**

Band (Jahr): **4 (1912)**

Heft 2

PDF erstellt am: **29.05.2024**

Nutzungsbedingungen

Die ETH-Bibliothek ist Anbieterin der digitalisierten Zeitschriften. Sie besitzt keine Urheberrechte an den Inhalten der Zeitschriften. Die Rechte liegen in der Regel bei den Herausgebern.
Die auf der Plattform e-periodica veröffentlichten Dokumente stehen für nicht-kommerzielle Zwecke in Lehre und Forschung sowie für die private Nutzung frei zur Verfügung. Einzelne Dateien oder Ausdrucke aus diesem Angebot können zusammen mit diesen Nutzungsbedingungen und den korrekten Herkunftsbezeichnungen weitergegeben werden.
Das Veröffentlichen von Bildern in Print- und Online-Publikationen ist nur mit vorheriger Genehmigung der Rechteinhaber erlaubt. Die systematische Speicherung von Teilen des elektronischen Angebots auf anderen Servern bedarf ebenfalls des schriftlichen Einverständnisses der Rechteinhaber.

Haftungsausschluss

Alle Angaben erfolgen ohne Gewähr für Vollständigkeit oder Richtigkeit. Es wird keine Haftung übernommen für Schäden durch die Verwendung von Informationen aus diesem Online-Angebot oder durch das Fehlen von Informationen. Dies gilt auch für Inhalte Dritter, die über dieses Angebot zugänglich sind.

Ein Dienst der *ETH-Bibliothek*
ETH Zürich, Rämistrasse 101, 8092 Zürich, Schweiz, www.library.ethz.ch

http://www.e-periodica.ch

comparativement sur agar-glycose 2 % et agar-glycose 2 % plus peptone 0,10 %, elle s'est fort peu étendue sur ce dernier milieu, constituant, dans le même temps où, sans peptone, elle envahissait toute la

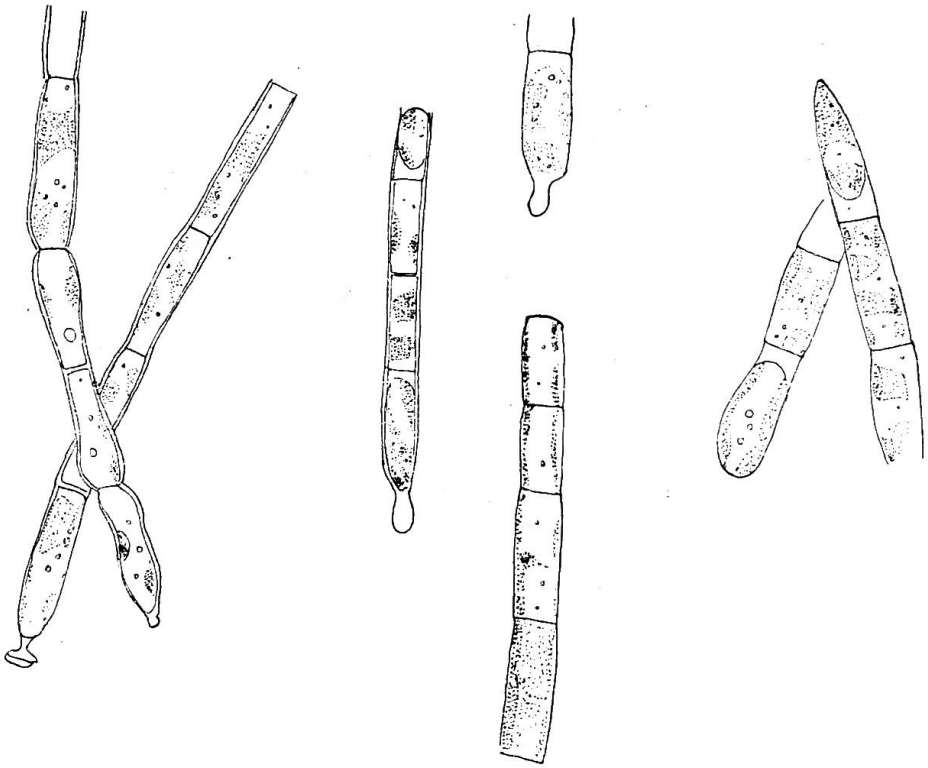

Fig. 151. *Tribonema bombycinum* (Ag.) Derb. Sol. (n° 33 de la Collect.). Culture dans le liquide Detmer 1/10. On voit les crampons, disques d'adhésion. Immersion. 800 ×.

surface du flacon (5 cent. de diamètre), des disques excessivement minces et presque complètement décolorés. (Fig. 151—152.)

Sur le milieu glycosé le contenu cellulaire, dépourvu d'amidon, contient des globules qui ne sont pas colorables par l'iode.

Bumilleria sicula Borzi.

Cette espèce [1]) (n° 32 de la Collection) forme rapidement sur agar-glycose, au bout d'un mois, des disques de 1 à 1,5 cm de diamètre, un peu soyeux ou, mieux dit, laineux. Les filaments se désarticulent avec beaucoup de facilité. Leur diamètre varie de 6 à 10 μ. Quelques cellules atteignent 20 μ. La longueur des cellules varie de 18 à 30 μ; souvent les cellules sont de 20 à 22 μ. Comparée au *Tribonema* (Conferva) *bombycinum* (Ag.) D. S. la croissance des colonies est beaucoup plus lente mais les disques sont plus épais. Sans sucre la

[1]) Borzi, Studi algologici, fasc. II (1895), 185 à 200, Tab. 16 à 17.

croissance est excessivement faible. Le lactose accélère à peine sa croissance. (Fig. 153 et 154.)

Sur agar-glycose-peptone 0,10 % elle forme des disques plus petits que sur milieu sans peptone qui finissent par se décolorer au centre et restent plus verts au bord. Ils sont proportionnellement plus épais et comme entourés par un rebord.

Bumilleria exilis Klebs.

Cette espèce (n° 31 de la Collection) qui a été étudiée par Klebs[1]) forme sur agar-glycose un disque d'aspect visqueux et brillant. Dans

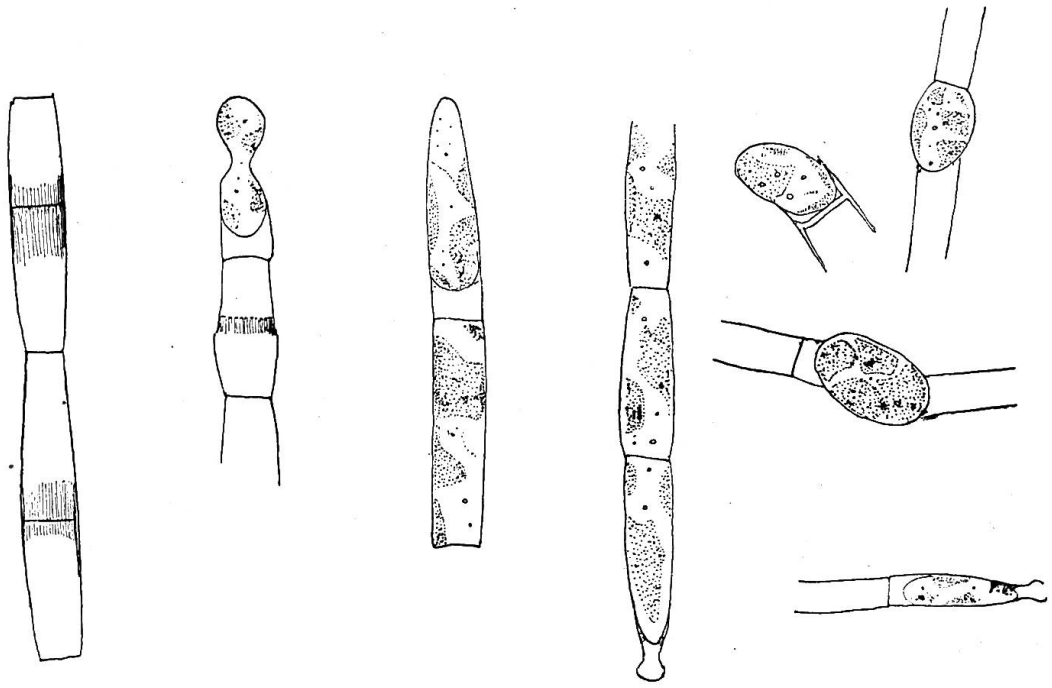

Fig. 152. *Tribonema bombycinum* (Ag.) Derb. Sol. On voit à gauche la bande connective après traitement au bleu de méthylène. b, formation d'une zoospore, c., sommet d'un filament. d. etc., filaments et akinètes. 800 ×.

le même temps ces disques l'emportent comme diamètre sur ceux du *B. sicula* Borzi. Sur agar-glycose-peptone 0,10 % elle forme des colonies en boutons arrondis qui ne s'étalent pas mais qui s'élèvent en coussinets vert pomme. Dans le même temps ces disques atteignent seulement la moitié du diamètre de ceux du milieu sans peptone. Le diamètre des filaments, qui ne se désarticulent que difficilement, est seulement de 3,5 à 5 μ. La longueur des cellules va de 12 à 18 μ.

---

[1]) Klebs, Fortpflanzung Alg. u. Pilze, Jena (1897), 376, tab. II, fig. 9—14.